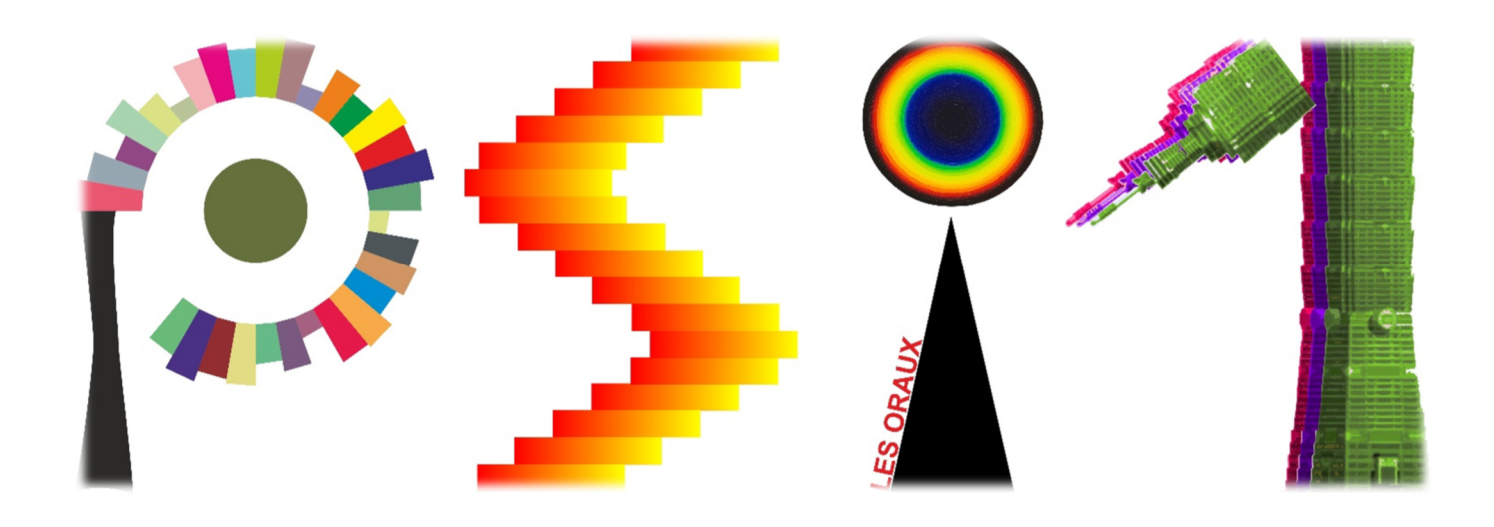


# TP QUATRIÈME SÉRIE PRÉPARATION AUX ORAUX



# RÉSEAU OPTIQUE



Avant l'épreuve, l'examinateur donne quelques explications sur le déroulement du TP, sur le matériel et éventuellement les consignes de sécurité.

Le compte-rendu doit être complet pour se suffire à lui-même : objectifs, description des expériences et conditions expérimentales non décrites dans l'énoncé, mesures brutes, incertitudes-types, observations, traitement des résultats (courbes), interprétation. Soignez sa présentation !

Aujourd'hui, la durée de l'épreuve est de 2h30 (3h à Centrale et ENS Paris Saclay, 3h30 aux Mines, hors tirage au sort, contrôle d'identité et explications).

L'épreuve comporte 2 appels à l'examinateur qui permettront un bref échange.

# 1. RÉSEAU SOUS INCIDENCE NORMALE

Le réseau est une plaque transparente comportant un très grand nombre de traits fins, parallèles et équidistants.

On désigne par a la distance entre deux traits voisins et n=1/a le nombre de traits par unité de longueur.

Lorsque le réseau est éclairé par une onde plane monochromatique de longueur d'onde  $\lambda$  sous l'angle d'incidence i, on observe par transmission un maximum principal de lumière à l'infini pour les directions repérées par l'angle i'.

Q.1) Démontrer la formule des réseaux  $\sin i' = \sin i + k\lambda/a$ , où  $k \in \mathbb{Z}$  est l'ordre du spectre.

#### 1.1 Mise en incidence normale

>>> Donner et mettre en œuvre un protocole pour que le réseau soit éclairé en incidence normale par la lumière issue du collimateur. Bloquer le plateau dans cette position.

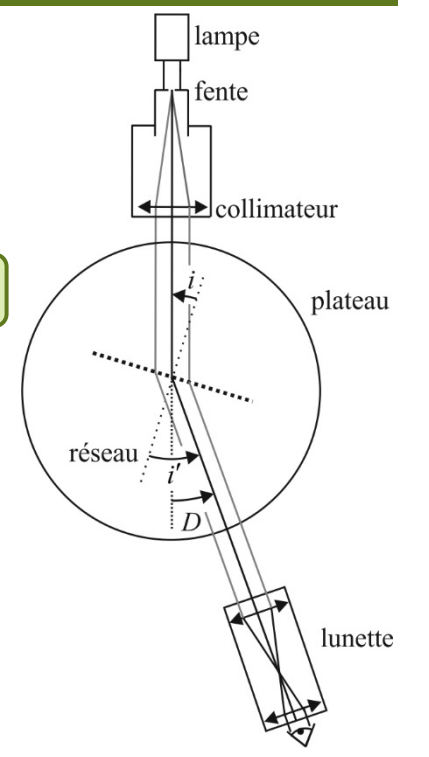
#### APPELER L'EXAMINATEUR

Le réglage précédent étant effectué, ne plus toucher à la vis de blocage du plateau, tant que l'on veut utiliser le réseau sous incidence normale, ni aux vis de réglage de l'horizontalité du plateau.

#### 1.2 Mesure du nombre de traits par unité de longueur

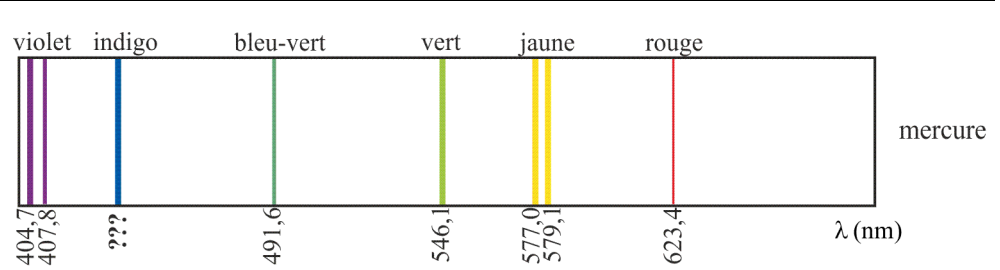
>>> Repérer les positions de quelques raies intenses de la lampe à vapeur de mercure dans le spectre d'ordre 1. En déduire la valeur moyenne du nombre de traits par unité de longueur du réseau utilisé (le réseau est indiqué à 570 traits par mm) :

 $n = \frac{\text{traits/mm}}{\text{m}}$ 



λ(nm)	couleur		
404,7	violet		
???	indigo		
546,1	vert		
577,0	jaune		
623,4	rouge (cadmium)		

Principales raies de la lampe à vapeur de mercure :



>>> Déterminer par la méthode de Monte-Carlo l'incertitude de mesure sur *n*. Présenter la valeur mesurée de *n* en tenant compte de cette incertitude.

 $u(n) = \frac{\text{traits/mm}}{n}$ 

#### 1.3 Détermination d'une longueur d'onde

>>> Déterminer la longueur d'onde de la raie indigo du mercure ainsi que l'incertitude-type sur cette longueur d'onde par la méthode de Monte-Carlo.

#### 2. MÉTHODE DU MINIMUM DE DÉVIATION

On applique ici cette méthode pour mesurer des longueurs d'onde par comparaison

#### 2.1 Manipulation avec la lampe à vapeur de mercure

>>> Débloquer le plateau. Faire tourner le plateau et suivre avec la lunette une raie donnée dans un spectre d'ordre donné : on prendra la raie de longueur d'onde  $\lambda_0 = 577,0$  nm du doublet jaune du mercure **dans le spectre d'ordre 2**. Constater que l'angle de déviation D = i' - i passe par un minimum  $D_{\min}$ .

#### APPELER L'EXAMINATEUR

**Q.2)** Montrer que pour ce minimum, on a 
$$i' = -i$$
 et que  $2 \sin \frac{D_{\min}}{2} = k \frac{\lambda}{a}$ .

>>> Pointer dans le spectre d'ordre 2, la position de la lunette au minimum de déviation de la raie de longueur d'onde connue  $\lambda_0 = 577,0$  nm du doublet jaune du mercure. Bloquer la position de la lunette pour ce minimum et faire tourner le plateau pour voir la raie suivie venir juste au niveau du fil du réticule au minimum de déviation, sinon ajuster la position de la lunette avec la vis micrométrique de déplacement latéral de la lunette (réglage fin). En déduire la valeur minimale de l'angle de déviation, notée  $D_{0min}$ .

#### 2.2 Manipulation avec la lampe à vapeur de sodium

>>> Éteindre la lampe à vapeur de mercure et allumer celle à vapeur de sodium (il faut attendre quelques minutes pour qu'elle émette des raies suffisamment intenses ; ne jamais chercher à rallumer une lampe qui vient d'être éteinte).

>>> À partir de la valeur connue  $\lambda_0 = 577,0$  nm d'une des raies jaunes du mercure, on peut recommencer les mesures, dans le spectre d'ordre 2, pour les deux raies jaunes du sodium. Déterminer  $D_{\min}$  pour les deux rais jaunes du sodium, et déterminer par comparaison, leurs longueurs d'onde  $\lambda_1$  et  $\lambda_2$ :  $\lambda_1 = nm$   $\lambda_2 = nm$ 

Comparer aux valeurs connues  $\lambda_1 = 589.0 \text{ nm}$  et  $\lambda_2 = 589.6 \text{ nm}$ .

**Q.3**) Déterminer l'incertitude de mesure sur  $\lambda$ . Commenter.

# MESURE DE DISTANCES FOCALES DE LENTILLES MINCES



Avant l'épreuve, l'examinateur donne quelques explications sur le déroulement du TP, sur le matériel et éventuellement les consignes de sécurité.

Le compte-rendu doit être complet pour se suffire à lui-même : objectifs, description des expériences et conditions expérimentales non décrites dans l'énoncé, mesures brutes, incertitudes-types, observations, traitement des résultats (courbes), interprétation. Soignez sa présentation !

Aujourd'hui, la durée de l'épreuve est de 2h30 (3h à Centrale et ENS Paris Saclay, 3h30 aux Mines, hors tirage au sort, contrôle d'identité et explications).

L'épreuve comporte 2 appels à l'examinateur qui permettront un bref échange.

## 1. MANIPULATIONS DE BASE

On dispose d'une lentille, l'une convergente, l'autre divergente, avec les indications f' = +20 cm et f' = -50 cm ou -10 cm.

#### 1.1 Identification du type de lentille

Vous devez seulement à ce stade déterminer quelle est la lentille convergente et quelle est la lentille divergente.

>>> Proposer une expérience consistant à regarder l'image d'un objet à travers la lentille et permettant d'affirmer que l'une des lentilles est convergente. Faire de même avec la lentille divergente. **Attention!** Chacune des expériences devra être accompagnée d'un schéma expliquant la marche des rayons dans la disposition retenue.

>>> On peut aussi dans certains cas déterminer la nature convergente ou divergente d'une lentille par simple examen de son épaisseur. Que savez-vous à ce sujet ? Essayer avec les deux lentilles fournies et commenter.

Par la suite, on utilise le banc d'optique qui contient les éléments classiques (source de lumière blanche, objets divers, miroir plan, écran...).

#### 1.2 Détermination de la distance focale de la lentille convergente par autocollimation

>>> Expliquer cette méthode et l'appliquer à la lentille convergente. En déduire f' = cm; u(f') = cm.

**Q.1**) Montrer qu'avec cette méthode le grandissement vaut  $\gamma = -1$  à l'aide d'un simple schéma.

# 1.3 Détermination de la distance focale de la lentille convergente par la formule de conjugaison

La formule de conjugaison d'une lentille de centre optique O est  $\frac{1}{p'} - \frac{1}{p} = \frac{1}{f'}$  avec  $p = \overline{OA}$  qui caractérise la position du point

objet A, et  $p' = \overline{OA'}$ . Ici il faudra avoir p' > 0: image réelle, pour pouvoir la former sur l'écran.

Le grandissement transversal vaut alors  $\gamma = p'/p$ .

>>> L'objet reste fixe. En faisant varier la position de la lentille, donc de la distance entre l'objet et l'écran (7/8 valeurs différentes), déterminer les positions de l'image ainsi que de l'objet. Déterminer également à chaque fois la valeur du grandissement transversal, avec une évaluation de l'incertitude de ces mesures.

>>> En déduire à l'aide d'un script Python la distance focale de la lentille convergente en utilisant la formule de conjugaison et l'incertitude-type associée : f' = cm ; u(f') = cm .

#### 1.4 Détermination de la distance focale de la lentille divergente par la formule de conjugaison

#### Q.2) Où doit se trouver l'objet d'une lentille divergente pour que celle-ci en forme une image réelle?

>>> Utiliser la lentille convergente pour former sur l'écran un tel objet avec un grandissement transversal proche de -1 . Repérer sa position puis reprendre la méthode du 1.3.

>>> En déduire à l'aide d'un script Python la distance focale de la lentille divergente indiquée f' = -50 cm en utilisant la formule de conjugaison : f' = cm ; u(f') = cm .

# 2. UTILISATION D'UN VISEUR À FRONTALE FIXE

#### 2.1 Utilisation d'une lunette de visée réglée à l'infini

Sans la bonnette (système de lentilles qui vient coiffer l'avant de la lunette), la lunette est une lunette de visée réglée à l'infini. Dans le cas d'un œil normal (emmétrope), la lunette est un système afocal à deux lentilles convergentes : l'objectif  $L_1$  de distance focale  $f_1'$ , et l'oculaire  $L_2$  de distance focale  $f_2' < f_1'$ ). La lunette contient également dans un plan transversal un réticule constitué d'une croix, ainsi qu'un ensemble de deux fils verticaux translatables grâce à un tambour rotatif permettant de repérer la position des fils à 1/10 ème de mm près. Ce réticule se trouve par construction dans le plan focal image de l'objectif : la lunette est réglée à l'infini.

Q.3) Faire le schéma de la lunette de visée, et construire la marche d'un faisceau de rayons inclinés par rapport à l'axe optique, provenant de l'infini, parvenant jusqu'à l'œil emmétrope d'un observateur situé derrière l'oculaire. Définir et calculer en fonction de  $f'_1$  et  $f'_2$  le grandissement angulaire algébrique.

>>> Sortir la lunette de visée du banc d'optique et l'emmener dans la salle adjacente. Enlever la bonnette si celle-ci est en place. Régler l'oculaire de la lunette en mettant au point sur le réticule (la mise au point s'effectue en éloignant l'oculaire du réticule jusqu'à dépasser la position pour laquelle l'image cesse d'être nette, puis à le rapprocher d'une quantité juste suffisante pour obtenir la netteté : dans ce cas l'image du réticule donnée par l'oculaire est à l'infini).

>>> Viser à travers la fenêtre un objet éloigné : on doit en voir une image nette et inversée ainsi que du réticule.

Q.4) Pourquoi cherche-t-on à ce que l'image soit à l'infini ? Pourquoi la position de l'oculaire par rapport au réticule n'est-elle pas figée comme pour celle de l'objectif par rapport au réticule ?

#### 2.2 Principe d'un viseur à frontale fixe

>>> Coiffer la lunette réglée à l'infini de sa bonnette pour la transformer en viseur à frontale fixe. Ce système donne une image nette des objets situés à une distance finie d bien déterminée de la lentille frontale avec une profondeur de champ très faible.

Q.5) On assimile la bonnette à une lentille convergente  $L_0$ . L'oculaire permet comme précédemment d'envoyer à l'infini l'image du réticule. Faire un dessin et une construction des rayons provenant d'un objet AB situé à la distance d de la lentille frontale jusqu'à l'œil de l'observateur.

>>> Réaliser un montage permettant d'évaluer la latitude de mise au point du viseur à frontale fixe. L'objet est constitué d'un quadrillage dessiné sur une plaque en plastique transparent précédé d'un filtre vert pour ne pas être ébloui. Commenter.

Les viseurs à frontale fixe servent aux pointés longitudinaux sur banc d'optique : la distance de deux objets (ou images jouant le rôle d'objets pour le viseur) sur l'axe optique du système parallèle à l'axe du banc est mesurée par le déplacement du viseur dans les visées successives des deux images correspondantes.

#### 2.3 Utilisation du viseur à frontale fixe pour la détermination d'une distance focale

L'objet est toujours constitué du quadrillage précédé du filtre vert.

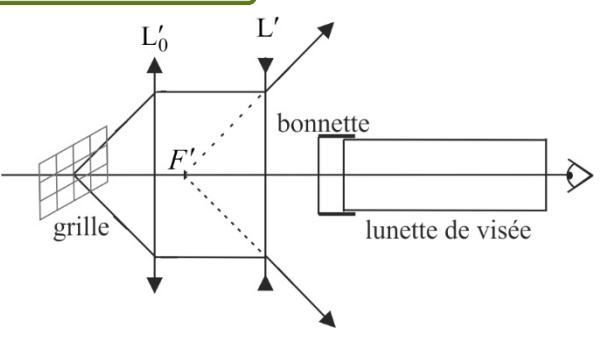
>>> Réaliser un faisceau incident de lumière parallèle pour tout point source en plaçant une lentille  $L'_0$  de distance focale  $f'_0 = 150 \,\mathrm{mm}$  derrière le quadrillage de façon à ce que celui-ci soit dans son plan focal objet.

Ce réglage est effectué en utilisant la lunette réglée à l'infini.

# Q.6) Expliquer le protocole permettant de placer le quadrillage dans le plan focal objet de $L_0$ .

>>> Placer une lentille divergente L' dont on indique la focale «  $f' = -100\,\mathrm{mm}$  » sur le faisceau précédent. L' donne de l'image à l'infini du grillage une nouvelle image dans le plan focal image virtuel de cette lentille.

Q.7) Expliquer le protocole permettant de mesurer la distance focale de L'. On notera qu'il est possible de viser la lentille L' elle-même du fait de la présence de défauts (rayures, poussières) présents sur la surface du verre. Ce protocole aurait-il fonctionné avec la lentille divergente de la partie 1?



#### APPELER L'EXAMINATEUR

>>> Mesures:  $f' = \operatorname{cm} : u(f') = \operatorname{cm} .$ 

>>> Déterminer par la même méthode la distance focale de la lentille convergente de la partie 1. Il y a-t-il une limitation comme pour les lentilles divergentes ?  $f' = \operatorname{cm}$ ;  $u(f') = \operatorname{cm}$ .

# ÉTUDE D'UN FILTRE



Avant l'épreuve, l'examinateur donne quelques explications sur le déroulement du TP, sur le matériel et éventuellement les consignes de sécurité.

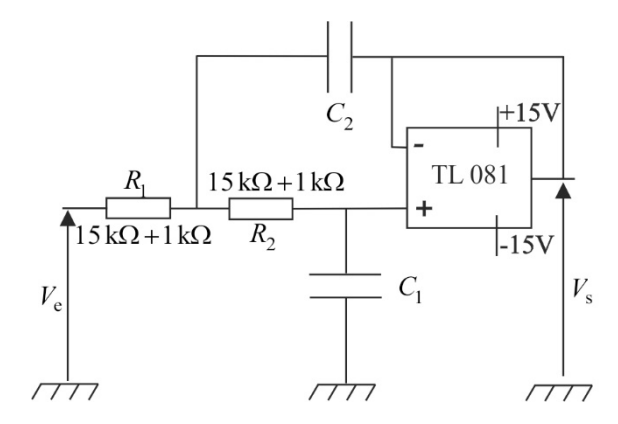
Le compte-rendu doit être complet pour se suffire à lui-même : objectifs, description des expériences et conditions expérimentales non décrites dans l'énoncé, mesures brutes, incertitudes-types, observations, traitement des résultats (courbes), interprétation. Soignez sa présentation !

Aujourd'hui, la durée de l'épreuve est de 2h30 (3h à Centrale et ENS Paris Saclay, 3h30 aux Mines, hors tirage au sort, contrôle d'identité et explications).

L'épreuve comporte 2 appels à l'examinateur qui permettront un bref échange.

#### 1. PROLOGUE

>>> Réaliser sur plaquette le montage ci-dessous (structure de Sallen et Key), avec  $C_1 = 1 \text{ nF}$  et  $C_2 = 100 \text{ nF}$ .



Le filtre étudié est un système linéaire fondamental du second ordre où la tension de sortie  $V_s(t)$  est liée à la tension d'entrée  $V_e(t)$  par une équation différentielle linéaire à coefficients constants pouvant se mettre sous la forme :

$$\frac{\mathrm{d}^2 V_{\mathrm{s}}}{\mathrm{d}t^2} + \frac{\omega_0}{Q} \frac{\mathrm{d}V_{\mathrm{s}}}{\mathrm{d}t} + \omega_0^2 V_{\mathrm{s}} = H_0 \omega_0^2 V_{\mathrm{e}}$$

Cette équation différentielle est associée à la fonction de transfert :  $H(j\omega) = \frac{V_s}{V_e} = \frac{H_0}{1 - \frac{\omega^2}{\omega_0^2} + \frac{j}{Q} \frac{\omega}{\omega_0}}$ 

On cherche à déterminer expérimentalement les paramètres  $f_0 = \frac{\omega_0}{2\pi}$ ,  $H_0$  et Q du filtre.

Q.1) Comment s'appelle la fréquence  $f_0 = \frac{\omega_0}{2\pi}$ ? Proposer une méthode pour la déterminer expérimentalement.

Q.2) Montrer qu'il y a résonance pour certaines valeurs du facteur de qualité. Exprimer alors  $f_{\text{rés.}}$  en fonction de  $f_0 = \frac{\omega_0}{2\pi}$  et de Q.

# 2. RÉPONSE FRÉQUENTIELLE

>>> Effectuer à l'oscilloscope (en utilisant les fonctions permettant une mesure rapide de déphasage et de gain) les mesures suivantes en régime sinusoïdal forcé.  $V_{\text{ecc}}$  et  $V_{\text{scc}}$  désignent les amplitudes crête-à-crête des tensions d'entrée et de sortie.

f(kHz)	0,1	0,2	0,3	0,4	0,5	0,6	0,7	0,8	0,9	1	1,1	1,2	1,5	2	3	4	5	6	7	8	9	10
$V_{\rm ecc}$ (V)																						
$V_{\rm scc}$ (V)																						
φ (°)																						

>>> Compléter les mesures en encadrant la fréquence  $f_0$  à l'aide de la méthode de la Q.1). Déterminer le gain pour la valeur centrale de cet intervalle, et en déduire la valeur du facteur de qualité : Q =

>>> Tracer les diagrammes de Bode en complétant le fichier Python fourni, ainsi que les asymptotes en BF et HF dans le diagramme de Bode du gain. Pour cette dernière, on choisira par slicing les points expérimentaux utiles pour effectuer un ajustement affine. Mesurer les pentes des asymptotes :

pente: dB/décade

 $f \to \infty$ dB/décade  $\phi \rightarrow$ (le code fournit la pente de la droite d'ajustement). pente:

En déduire une nouvelle mesure de  $f_0$ :  $f_0$  = Hz.

>>> Mesurer les valeurs du gain statique  $\,H_0\,$  du système en expliquant la méthode retenue.

#### APPELER L'EXAMINATEUR

# 3. RÉPONSE INDICIELLE

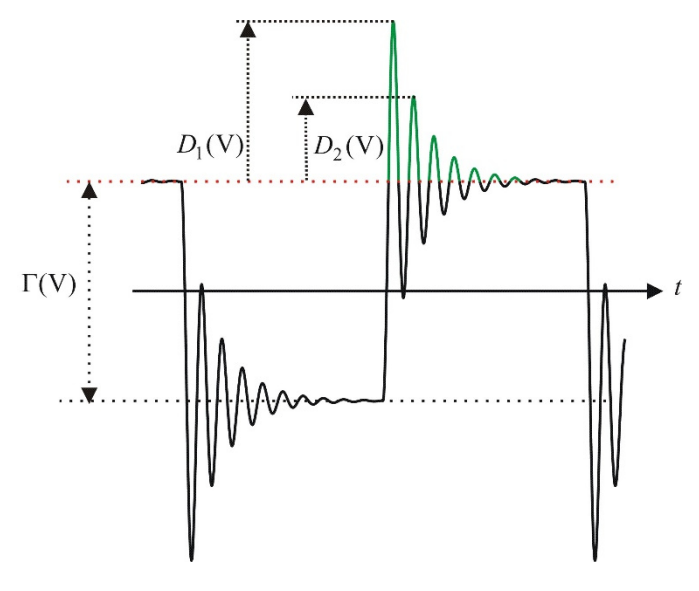
Dans le cas où  $Q > \frac{1}{2}$ , la réponse indicielle est pseudo-périodique : elle oscille périodiquement, mais les oscillations sont

$$\text{amorties. Pour } t>0 \text{ , elle s'écrit : } V_{\mathrm{s}}(t)=H_0E\left[1-\frac{2Q}{\sqrt{4Q^2-1}}e^{-\frac{\omega_0}{2Q}t}\cos\left(\omega_0t\sqrt{1-\frac{1}{4Q^2}}+\psi\right)\right], \text{ avec } \psi=-\arctan\frac{1}{\sqrt{4Q^2-1}}.$$

# 3.1 Obtention de la réponse indicielle

Q.3) À quelle condition peut-on observer la réponse indicielle avec un signal d'entrée en créneaux ?

>>> Envoyer en entrée du filtre un signal créneaux de fréquence adaptée à l'étude des oscillations amorties.



>>> Effectuer des mesures permettant la détermination de  $H_0$ :  $H_0$  =

#### 3.2 Détermination du facteur de qualité

>>> Mesurer en utilisant les curseurs de l'oscilloscope le dépassement maximum  $D_1$  ainsi que les dépassements suivants  $D_2$ ,  $D_3$ , et  $D_4$ .

On cherchera à effectuer les mesures avec des incertitudes-type faibles.

$$D_1 = V$$
 $D_2 = V$ 

$$D_2 = D_4 = 0$$

$$D_3 = V$$

On définit le décrément logarithmique  $\Lambda = \ln \frac{D_i}{D_{i-1}}$ 

On note également  $\Gamma$  l'écart entre asymptotes et  $\Delta = \frac{D_1}{\Gamma}$  la valeur du premier dépassement en % de l'écart entre asymptotes.

Q.4) On pose 
$$\sigma = \frac{1}{2Q}$$
 et  $r(t) = \frac{V_s(t)}{H_0 E} - 1 = -\frac{1}{\sqrt{1 - \sigma^2}} e^{-\sigma \omega_0 t} \cos \left( \omega_0 t \sqrt{1 - \sigma^2} - \arctan \frac{\sigma}{\sqrt{1 - \sigma^2}} \right)$ .

Calculer les instants  $t_i > 0$ , avec  $i \in \mathbb{N}^*$ , tels que r soit maximal, en fonction de i,  $\sigma$  et  $\omega_0$ , puis les valeurs des dépassements  $\Delta_i > 0$  à ces instants.

En déduire les relations 
$$Q = \frac{\sqrt{\pi^2 + (\ln \Delta)^2}}{2|\ln \Delta|}$$
 et  $Q = \frac{\sqrt{4\pi^2 + \Lambda^2}}{2\Lambda}$ , et  $f_0 = \frac{2Q}{T\sqrt{4Q^2 - 1}}$ , où  $T$  est la période des oscillations.

Déterminer le facteur de qualité 
$$Q$$
 à l'aide de la relation  $Q = \frac{\sqrt{\pi^2 + (\ln \Delta)^2}}{2|\ln \Delta|}$  :  $Q = \frac{\sqrt{\pi^2 + (\ln \Delta)^2}}{2|\ln \Delta|}$ 

Une fonction Python est disponible pour étudier la propagation des incertitudes par la méthode de Monte-Carlo.

Les égalités  $\ln \frac{D_1}{D_2} = \ln \frac{D_2}{D_3} = \ln \frac{D_3}{D_4} = \Lambda$  sont-elles bien vérifiées ? En déduire la valeur du décrément logarithmique  $\Lambda$  et une seconde valeur de Q. Comparer les résultats obtenus.

$$\ln \frac{D_1}{D_2} =$$

$$\ln \frac{D_2}{D_2} =$$

; 
$$\ln \frac{D_3}{D_4} =$$

$$\Rightarrow \Lambda =$$

$$\ln \frac{D_1}{D_2} = \qquad \qquad ; \ \ln \frac{D_2}{D_3} = \qquad \qquad ; \ \ln \frac{D_3}{D_4} = \qquad \qquad \Rightarrow \Lambda = \qquad \qquad ; \ \mathcal{Q} = \frac{\sqrt{4\pi^2 + \Lambda^2}}{2\Lambda} = \frac{1}{2\pi}$$

# 3.3 Détermination de fo

>>> Effectuer une mesure supplémentaire permettant à l'aide de la valeur trouvée pour Q d'en déduire la fréquence des oscillations non amorties  $f_0 = \frac{\omega_0}{2\pi}$  :  $f_0 =$ Hz

On pourra de nouveau étudier la propagation des incertitudes par la méthode de Monte-Carlo à l'aide de la fonction Python fournie.

#### APPELER L'EXAMINATEUR

>>> Expliquer ce qu'est le temps de montée et le protocole pour le mesurer. Effectuer la mesure :  $t_{\rm m}$  = μs et le comparer à sa valeur théorique pour Q = 5:  $t_{\rm m} = \frac{0.175}{f_0} =$  $\mu s$  .

Vérifier le résultat à l'aide de la fonction de l'oscilloscope permettant la mesure automatique de  $t_{\rm m}$ :  $t_{\rm m}$  =  $\mu s$ .

# 4. ÉPILOGUE

- >>> Comparer les études fréquentielle et temporelle dans le but d'identifier les paramètres d'un filtre : simplicité de la méthode, durée des manipulations, incertitudes de mesure...
- >>> Visualiser la réponse à des créneaux de fréquences 1Hz, puis 1 kHz puis 10 kHz et interpréter les signaux obtenus. On s'aidera d'une analyse spectrale dans le cas f = 1 kHz.

La connaissance du montage permet ici de calculer la fonction de transfert théorique :

Q.5) Montrer que la fonction de transfert est bien celle donnée ci-dessus avec  $H_0 = 1$ ;  $\omega_0 = \frac{1}{\sqrt{R_1 C_1 R_2 C_2}}$ 

$$Q = \frac{R_1}{R_1 + R_2} \sqrt{\frac{R_2 C_2}{R_1 C_1}} \text{ . Faire l'application numérique pour } f_0 = \frac{\omega_0}{2\pi} = \frac{1}{2\pi \sqrt{R_1 C_1 R_2 C_2}} \text{ et } Q.$$

>>> Comparer les valeurs expérimentales aux valeurs théoriques.

#### Matériel:

Plaquette de connexion 1 A.L.I TL 081

Capacités de 1 nF et 100 nF

2 résistances de 1 k $\Omega$ ; 2 de 15 k $\Omega$ 

# PHÉNOMÈNES DIFFUSIFS À 1D, SIMULATION À L'AIDE DE CELLULES *RC*



Avant l'épreuve, l'examinateur donne quelques explications sur le déroulement du TP, sur le matériel et éventuellement les consignes de sécurité.

Le compte-rendu doit être complet pour se suffire à lui-même : objectifs, description des expériences et conditions expérimentales non décrites dans l'énoncé, mesures brutes, incertitudes-types, observations, traitement des résultats (courbes), interprétation. Soignez sa présentation !

Aujourd'hui, la durée de l'épreuve est de 2h30 (3h à Centrale et ENS Paris Saclay, 3h30 aux Mines, hors tirage au sort, contrôle d'identité et explications).

L'épreuve comporte 2 appels à l'examinateur qui permettront un bref échange.

L'objectif de ce TP consiste à étudier la réponse d'une ligne *RC* composée de 22 cellules en régime continu, puis en régime transitoire après une excitation en échelon, et enfin en régime sinusoïdal forcé.

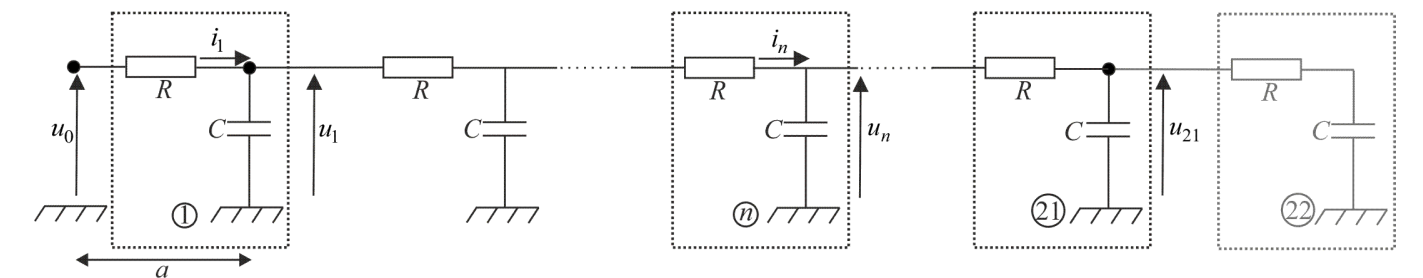
Ces manipulations sont analogues aux expériences de diffusion thermique (ou de particules) que l'on peut faire avec une barre conductrice de la chaleur isolée latéralement. On fera autant que possible des rapprochements avec ce phénomènes.

# 1. MONTAGE ÉTUDIÉ, ÉQUATION DE DIFFUSION

## 1.1 Montage étudié

Le montage, réalisé sur plaquette, est constitué de 22 cellules RC régulièrement espacées, avec  $R = 1.0 \text{ k}\Omega$  et C = 100 nF, et numérotées de n = 1 à n = 22. On appelle a la dimension d'une cellule.

Il est possible d'appliquer une tension  $u_0$  en entrée de la ligne, et de mesurer  $u_1$  aux bornes de la capacité de la première cellule, puis toutes les deux cellules les tensions  $u_3, u_5, ..., u_{21}$  aux bornes des capacités des cellules n=3, n=5,..., n=21. Schéma électrique du dispositif expérimental :



# 1.2 Équation de diffusion

**Q.1**) Déterminer la relation entre  $u_n$ ,  $u_{n+1}$  et  $u_{n-1}$ .

En faisant l'approximation des milieux continus, en déduire l'équation aux dérivées partielles vérifiée par la tension u(x,t) telle que  $u(x = na, t) = u_n(t)$ .

Exprimer le coefficient de diffusion D en fonction de a et de  $\tau = RC$  puis vérifier l'homogénéité.

À quelle condition l'approximation précédente est-elle valable?

#### 2. RÉGIME STATIONNAIRE

>>> Appliquer une tension continue  $u_0$  de l'ordre de 10 V (mesurée précisément avec un voltmètre) à l'entrée du montage et court-circuiter l'autre extrémité en n=21.

À l'aide d'un voltmètre, mesurer les tensions  $u_n$  puis tracer sous Python la courbe  $u_n = f(n)$ . Comparer avec la théorie. Déterminer l'intensité du courant débité par l'alimentation à l'aide d'un ampèremètre et en déduire la valeur de R. Comparer avec la valeur attendue.

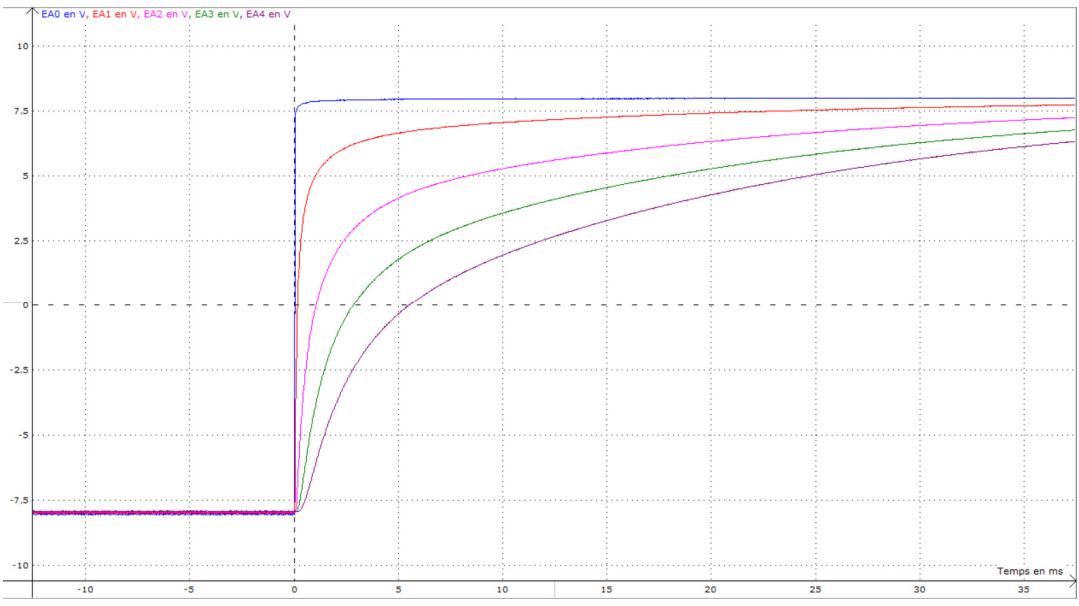
Q.2) Quelle est la situation analogue pour la diffusion thermique?

## 3. RÉPONSE À UN ÉCHELON DE TENSION

>>> Appliquer maintenant une tension  $u_0(t)$  de forme créneau symétrique d'amplitude 8 V (donc variant de -8 V à +8 V ) et de très basse fréquence (proche de 1 Hz). L'extrémité n=21 n'est pas court-circuitée.

Acquérir les tensions  $u_n(t)$  pour  $n \le 7$  comme sur l'exemple ci-dessous :

On justifiera les choix faits pour l'acquisition des signaux (signal de déclenchement, seuil de déclenchement...).



# Q.3) Quel est dans ce cas la situation analogue pour la diffusion thermique?

Q.4) On se propose de résoudre l'équation de diffusion en effectuant le changement de variable  $\xi = \frac{x}{2\sqrt{Dt}}$ . On a alors

 $u(x,t) = f(\xi)$ . Exprimer la tension  $u_n(t)$  en utilisant la fonction erreur  $\operatorname{erf}(\xi)$  définie par  $\operatorname{erf}(\xi) = \frac{2}{\sqrt{\pi}} \int_0^{\xi} \exp(-X^2) dX$ .

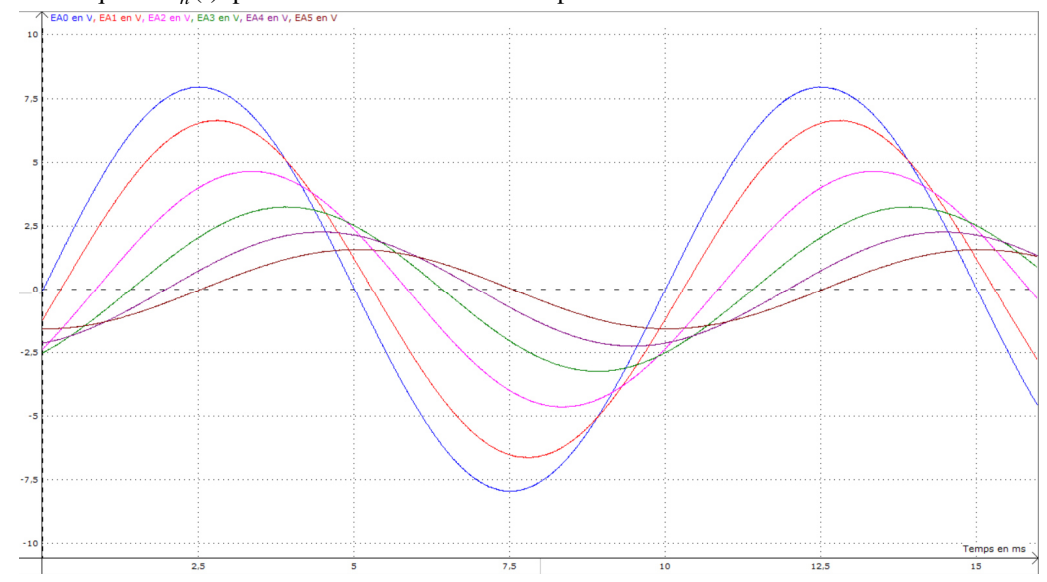
Vérifier qu'avec les conditions aux limites et les conditions initiales, la solution s'écrit  $u_n(t) = E_0 \left( 1 - \text{erf} \left( \frac{n}{2} \sqrt{\frac{\tau}{t}} \right) \right)$ 

>>> Sachant que erf (0,47694) = 1/2, déduire une évaluation de la constante de temps  $\tau$  par une étude graphique. Comparer avec les données constructeur. Pourquoi doit-on se limiter aux valeurs  $n \le 7$ ?

#### APPELER L'EXAMINATEUR

#### 4. RÉGIME SINUSOÏDAL FORCÉ

>>> Appliquer une tension  $u_0(t)$  sinusoïdale d'amplitude 8 V et de fréquence  $f = 100\,\mathrm{Hz}$ . L'extrémité  $n = 21\,$  n'est toujours pas court-circuitée. Acquérir  $u_n(t)$  pour  $n \le 9\,$  comme sur l'exemple ci-dessous :



On justifiera les choix faits pour l'acquisition des signaux (signal de déclenchement, seuil de déclenchement...).

Q.5) Quelle est la situation analogue en diffusion thermique?

En déduire que la solution est de la forme  $u_n(t) = U_0 e^{-n\sqrt{\frac{\omega \tau}{2}}} \cos \left(\omega t - n\sqrt{\frac{\omega \tau}{2}}\right)$ 

# 4.1 Étude de l'amplitude

Déduire graphiquement la constante de temps  $\tau$ . Comparer avec les données constructeur. Pourquoi se limite-t-on à ces valeurs de n?

# 4.2 Étude du retard

Déduire graphiquement la constante de temps τ. Comparer avec les données constructeur.

**Q.6**) Exprimer la vitesse de phase de l'onde diffusive.

En déduire une condition pour que l'approximation des milieux continus soit valable, et vérifier si c'est bien le cas à la fréquence choisie.

```
Régression linéaire Ly = a0*Lx + b0 sous Python :
>>> p0 = np.polyfit(Lx, Ly, 1) # (ajustement polynomial de degré 1)
>>> a0,b0 = p0[0],p0[1]
```

# FONCTIONNEMENT D'UN HACHEUR



Avant l'épreuve, l'examinateur donne quelques explications sur le déroulement du TP, sur le matériel et éventuellement les consignes de sécurité.

Le compte-rendu doit être complet pour se suffire à lui-même : objectifs, description des expériences et conditions expérimentales non décrites dans l'énoncé, mesures brutes, incertitudes-types, observations, traitement des résultats (courbes), interprétation. Soignez sa présentation !

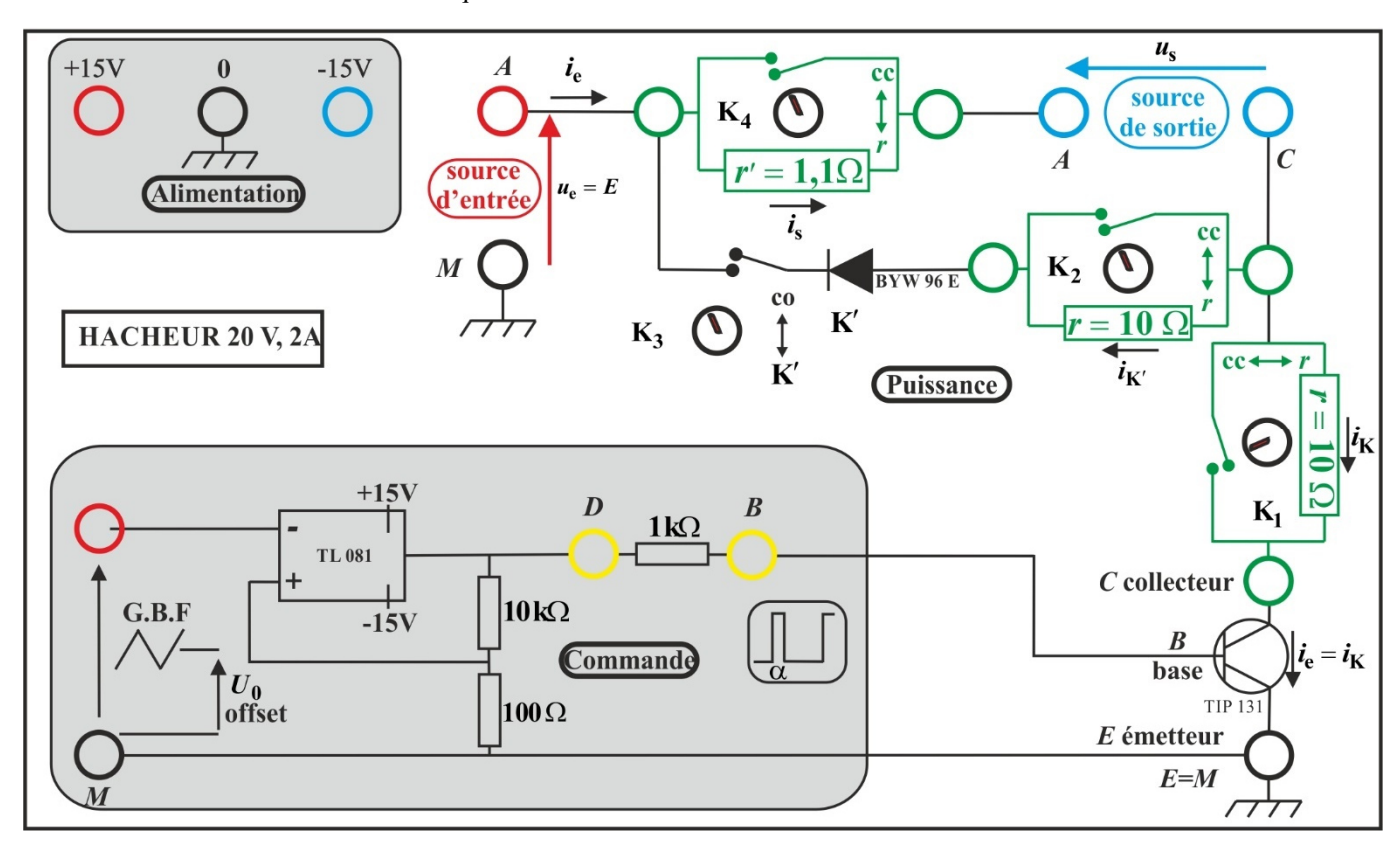
Aujourd'hui, la durée de l'épreuve est de 2h30 (3h à Centrale et ENS Paris Saclay, 3h30 aux Mines, hors tirage au sort, contrôle d'identité et explications).

L'épreuve comporte 2 appels à l'examinateur qui permettront un bref échange.

#### 1. COMMANDE DU HACHEUR

#### 1.1 Description de la maquette utilisée

On donne ci-dessous le schéma de la maquette utilisée.



Le bloc « commande » du hacheur est représenté en grisé.

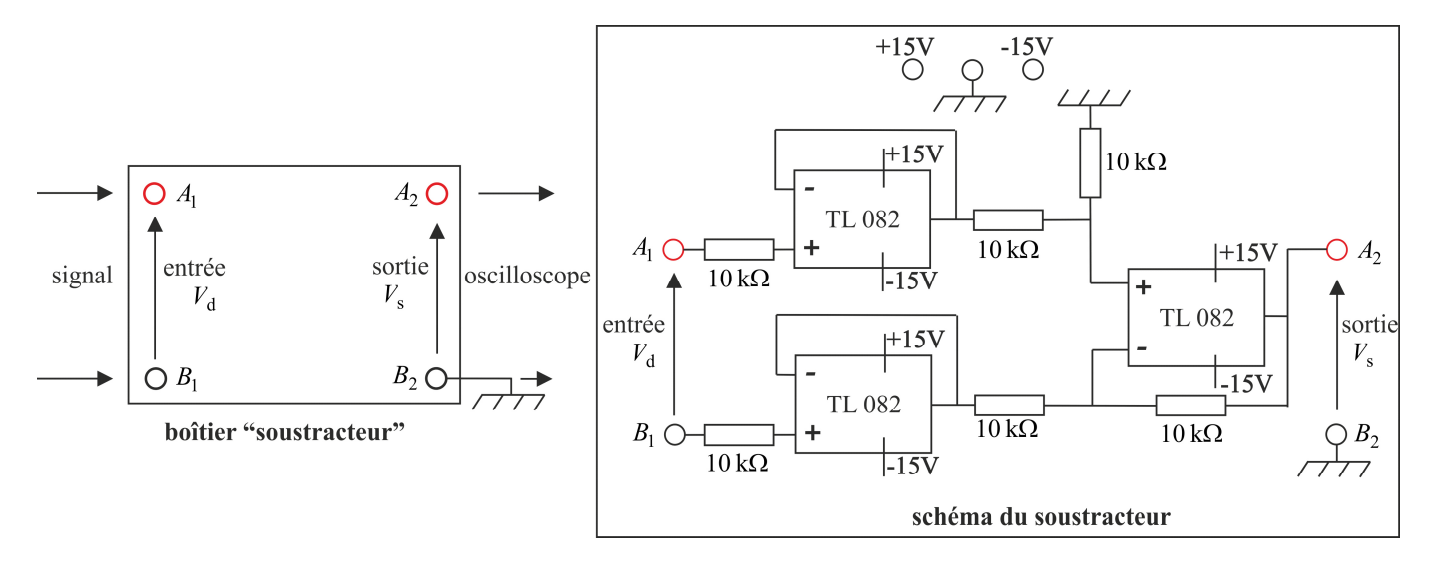
Les trois conducteurs ohmiques de résistance  $r=10\,\Omega$  ou  $r'=1,1\,\Omega$  permettent de visualiser à l'oscilloscope les courants  $i_{\rm e}=i_{\rm K}$  (délivré par l'alimentation de puissance, et qui traverse le transistor K),  $i_{\rm K'}$  (qui traverse la diode de roue libre K') et  $i_{\rm s}$  (qui traverse la charge). Il est possible de court-circuiter ces conducteurs ohmiques avec les interrupteurs  $K_1$ ,  $K_2$  et  $K_4$  lorsque le hacheur est utilisé dans une application comme la commande d'un moteur où la présence des résistances fait chuter le rendement.

En revanche, comme on visualisera  $i_s$ , la résistance de r'=1,1  $\Omega$  aux bornes de  $K_4$  ne sera pas court-circuitée, contrairement aux autres. Tout de passe comme si on avait ajouté 1,1  $\Omega$  à la charge, ce dont on tiendra compte pour confronter les résultats expérimentaux à leur valeur théorique.

L'interrupteur  $K_3$  permet de mettre en service la diode de roue libre K' (quand il est fermé) ou de la mettre hors service (quand il est ouvert : position circuit ouvert (co).

>>> Vérifier à l'ohmmètre les valeurs de r et r':  $r = \Omega$  et  $r' = \Omega$ .

Pour prélever à l'oscilloscope les tensions aux bornes de ces résistances ou entre deux points quelconques de la maquette, on utilise un montage soustracteur déjà réalisé dans un boîtier (qui contient en fait deux soustracteurs indépendants) :



La masse du boîtier étant la même que celle de l'oscilloscope, on créerait en effet des courts-circuits en branchant directement l'oscilloscope entre deux points quelconques de la maquette.

L'oscilloscope est en SORTIE du boîtier soustracteur, les fils permettant de prélever une tension dans le circuit sont en ENTRÉE... Dans le cas inverse des signaux sont appliqués dans le montage et peuvent détruire les diodes ou le transistor de la maquette.

D'autre part, les montages à A.L.I pouvant présenter des tensions de décalage en sortie, on n'utilisera les tensions fournies par le soustracteur que pour mesurer des différences de tension. **Pour des valeurs moyennes de tension ou de courant, on utilisera un multimètre en mode DC.** 

Q.1) Justifier que l'utilisation d'un soustracteur est nécessaire ici pour prélever des tensions dans le circuit de puissance. Pourrait-on également utiliser un transformateur d'isolement ?

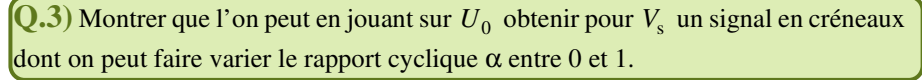
Montrer qu'avec le soustracteur, on a  $V_{A_1} - V_{B_1} = V_{A_2} - V_{B_2}$  sans avoir  $V_{A_1} = V_{A_2}$ , ni  $V_{B_1} = V_{B_2}$ .

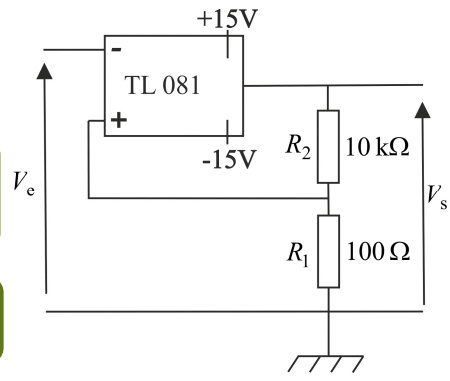
#### 1.2 Fonctionnement de la commande

#### Document 1 : commande du rapport cyclique

La commande est obtenue avec un comparateur à hystérésis attaqué par des signaux triangulaires d'amplitude  $V_1$  et de valeur moyenne  $U_0$  (tension de décalage ou d'offset).

Q.2) Étudier les conditions de basculement du montage et tracer le cycle d'hystérésis donnant  $V_s$  en fonction de  $V_e$ . Calculer numériquement les valeurs  $\pm V_{\rm basc.}$  de  $V_{\rm e}$  provoquant le basculement et commenter.





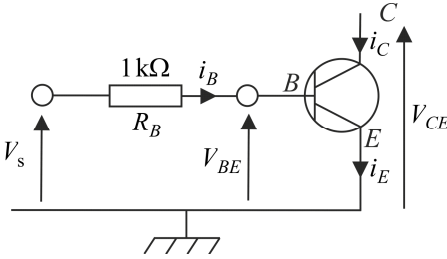
>>> Alimenter la commande du hacheur avec le G.B.F en signaux triangulaires de fréquence f = 100 Hz et d'amplitude  $U_0 = 5 \text{ V}$  et visualiser les signaux d'entrée et de sortie du comparateur. Visualiser le cycle d'hystérésis.

>>> Ajouter une tension de décalage et observer que l'on peut bien régler le rapport cyclique à la valeur désirée entre 0 et 1.

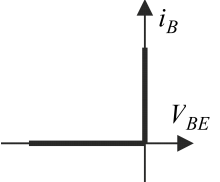
#### APPELER L'EXAMINATEUR

#### Document 2 : commande du transistor

La tension de sortie  $V_s$  du comparateur est appliquée au montage contenant le transistor appelé « montage à émetteur commun » :



La caractéristique  $i_B(V_{BE})$  est similaire à celle d'une diode que l'on supposera idéale (dont la caractéristique est représentée ci-contre).



On a donc:

— quand 
$$V_{\rm s}=+V_{\rm sat}$$
 ,  $i_B>0$  et  $V_{BE}\simeq 0$  donc  $i_B=\frac{V_{\rm sat}}{R_B}\simeq 14~{\rm mA}$  ;

— quand 
$$V_{\rm s}=-V_{\rm sat}$$
 ,  $i_B=0$  et  $V_{BE}=-V_{\rm sat}$  .

 $i_B$  reste toujours faible : on a  $i_E \simeq i_C$  . On peut considérer CE comme un dipôle commandé par  $i_B$  :

- si  $i_B = 0$  on est en régime bloqué (non linéaire) :  $i_C = 0$  et  $V_{CE} > 0$ .
- si  $i_B>0$  , on est en régime saturé (non linéaire) :  $i_C>0$  et  $V_{CE}\simeq 0$  .

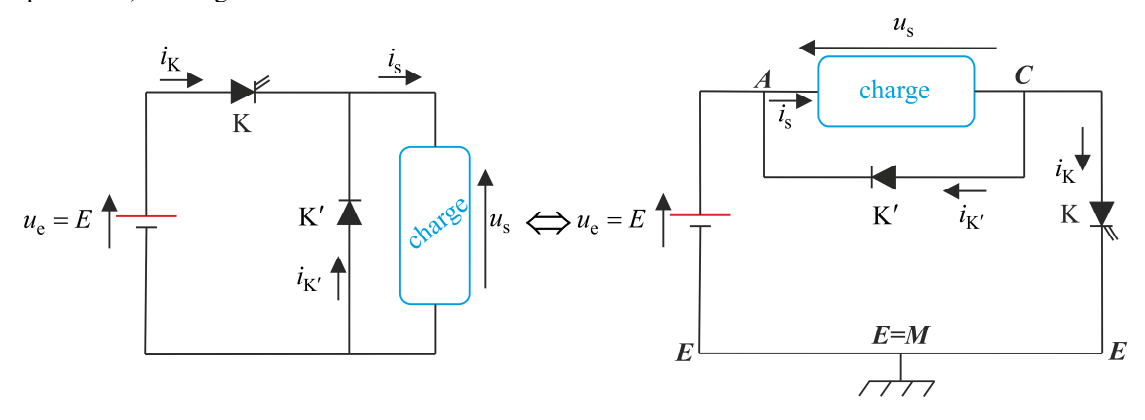
Finalement, le transistor se comporte ici en interrupteur commandé par  $V_{\rm s}\,$  :

si  $V_{\rm s}=+V_{\rm sat}$  (entre 0 et  $\alpha T$ ),  $i_C>0$  et  $V_{CE}\simeq 0$ : interrupteur fermé si  $V_{\rm s}=-V_{\rm sat}$  (entre  $\alpha T$  et T),  $i_C=0$  et  $V_{CE}>0$ : interrupteur ouvert

# 2. HACHEUR SÉRIE (DÉVOLTEUR)

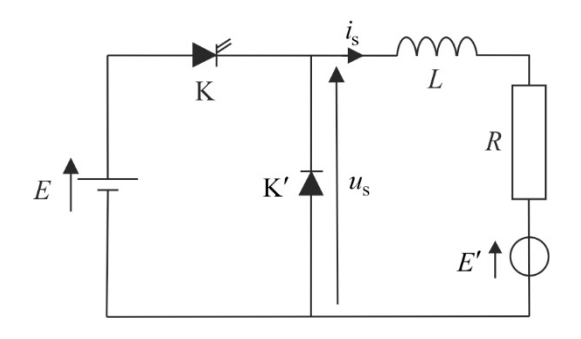
#### 2.1 Branchements

Le hacheur série est constitué de la charge en parallèle avec une diode, en série avec l'alimentation de puissance (source de tension) et le transistor. On a donc ci-dessous deux montages équivalents : à gauche, le montage théorique, à droite, le montage expérimental réalisable avec la maquette disponible. On peut remarquer que seule la position du transistor (toujours en série avec la source de puissance) a changé.



>>> Connecter entre *A* et *E* (masse) l'alimentation de puissance Jeulin Evolution.

La charge sera du type R, L, E' (force contre-électromotrice). Elle est placée entre A et C.



#### **Document 3: conduction continue / discontinue**

#### **Conduction continue**

Pour obtenir une tension réglable aux bornes de la charge, on hache la tension d'alimentation continue  $E=10\,\mathrm{V}$ : le hacheur fournit une tension  $u_\mathrm{s}(t)$  T-périodique. T est supposée petite devant la constante de temps  $\tau=L/R$  de la charge. On note f=1/T la fréquence de hachage. On a  $u_\mathrm{s}=E=10\,\mathrm{V}$  pendant la durée  $\alpha T$  et 0 le reste de la période T, soit une valeur moyenne  $\langle u_\mathrm{s} \rangle = \alpha E$  pendant T réglable grâce au rapport cyclique  $\alpha$ .

Q.4) Justifier que la bobine se comporte comme une source de courant. En réalité, l'intensité i dans la charge fluctue faiblement autour de sa valeur moyenne  $I_0 = \langle i_{\rm s} \rangle$ . Montrer que  $I_0 = \frac{\alpha E - E'}{R}$  et que  $\Delta i_{\rm s} = i_{\rm smax} - i_{\rm smin} = \alpha (1 - \alpha) \frac{E}{L} T$ .

#### **Conduction discontinue**

Tout ce qui précède n'est vrai que si le courant  $i_s$  ne s'annule pas entre  $\alpha T$  et T (conduction continue). Dans le cas où il s'annule (conduction discontinue) à la date  $\beta T < T$ , la diode K' se bloque et on n'a plus  $u_s = 0$  mais  $i_s = 0$  entre  $\beta T$  et T. On doit donc reprendre les équations différentielles. On néglige toujours le terme  $Ri_s$ :  $u_s = E' + L \frac{di_s}{dt}$ .

Entre 0 et 
$$\alpha T$$
,  $u_c = E$  et  $\frac{\mathrm{d}i_s}{\mathrm{d}t} = \frac{E - E'}{L} \Rightarrow i_s = \frac{E - E'}{L} t$  puisque  $i_s(0) = 0$ . On a donc  $i_{\mathrm{smax}} = \frac{E - E'}{L} \alpha T$ .

Entre 
$$\alpha T$$
 et  $\beta T$ ,  $u_s = 0$  et  $\frac{di_s}{dt} = \frac{-E'}{L} \Rightarrow i_s = i_{smax} - \frac{E'}{L} (t - \alpha T)$ .

$$i_s$$
 s'annule à  $t = \beta T$ . On a donc  $\beta T = \alpha T + \frac{Li_{smax}}{E'} = \alpha T + \frac{E - E'}{E'} \alpha T$  et

on en déduit  $\beta = \frac{E}{E'}\alpha$ . On est donc en régime discontinu quand  $\beta < 1$ ,

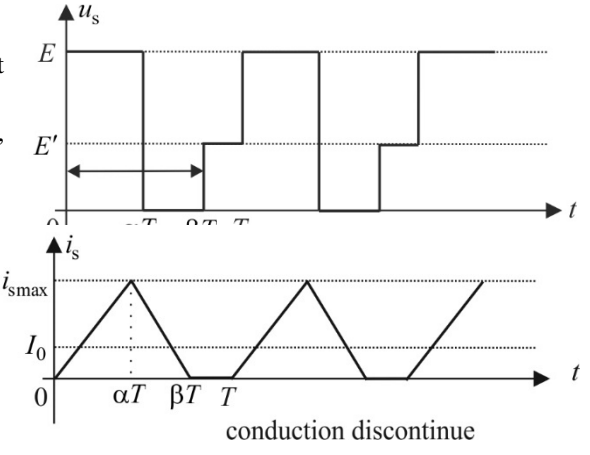
c'est-à-dire quand  $\alpha < E'/E$ . Entre  $\beta T$  et T,  $i_s = 0$  et  $u_s = E'$ .

Entre 0 et 
$$\beta T$$
, la valeur moyenne de  $i_s$  est  $\frac{i_{smax}}{2} = \frac{E - E'}{2L} \alpha T$ , donc

$$I_0 = \left\langle i_{\rm s} \right\rangle = \frac{\beta T i_{\rm smax} / 2 + (1 - \beta) T \cdot 0}{T} = \beta \frac{i_{\rm smax}}{2} = \frac{E}{E'} \alpha \frac{E - E'}{2L} \alpha T , \text{ soit :}$$

$$I_0 = \frac{E(E - E')}{E'} \frac{\alpha^2 T}{2L}$$
. La valeur moyenne de  $u_s$  vaut maintenant :

$$\left\langle u_{\rm s} \right\rangle = \frac{\alpha T E + (\beta - \alpha) T \cdot 0 + (1 - \beta) T E'}{T} = \alpha E + (1 - \frac{E}{E'} \alpha) E' = E' \ .$$



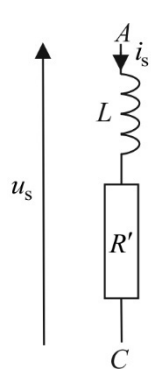
#### 2.2 Fonctionnement sur une charge (R', L)

La charge est constituée par l'association série entre une bobine d'inductance maximale  $L=L_{\rm max}\simeq 1,4~{\rm H}$  (on règle sa valeur en déplaçant un noyau de fer doux dans la bobine) et un conducteur ohmique monté sur plaquette de bois, et qui peut être associé avec une pile placée sur la même plaquette.  $\mathbf{R'}$  est donc l'association série de la résistance de la bobine et de la résistance 50  $\Omega$  du conducteur ohmique (qui supporte des intensités supérieures à celles utilisées en électronique des signaux). Ne pas utiliser d'autres résistances !

Avant de connecter la charge au hacheur, effectuer les mesures suivantes :

- >>> Mesurer à l'ohmmètre la valeur de  $R': R' = \Omega$ .
- >>> Insérer la bobine dans un montage permettant de mesurer la valeur de  $L_{\max}$  :  $L_{\max}$  =  $\mathbf{H}$  . On détaillera le protocole retenu.

>>> Placer la charge entre A et C. Amener E à 10 V.



Systématiquement ramener à 0 V la tension de l'alimentation avant d'ouvrir le circuit de puissance. Sans cette précaution, la présence de bobinages provoque à l'ouverture du circuit une étincelle de rupture qui peut l'endommager.

#### Puisque E' = 0, seul le régime de conduction continue intervient dans cette partie.

- >>> Régler la fréquence de hachage à f = 100 Hz et le rapport cyclique  $\alpha = 0.80$ .
- >>> Mettre en service la diode de roue libre et relever sur un même graphe  $u_s$ ,  $i_s$ ,  $i_K$  et  $i_{K'}$ . Comparer aux courbes théoriques et commenter.
- >>> Mettre hors service la diode de roue libre et relever les allures de  $u_s$  et  $i_s$ . Justifier le rôle de la diode.
- >>> Remettre en service la diode de roue libre pour toute la suite du T.P. Diminuer la valeur de L en sortant progressivement le noyau de fer doux de la bobine. Observer les variations de  $u_s$ ,  $i_s$  et  $I_0 = \langle i_s \rangle$ . Interpréter, puis revenir à  $L_{\max}$ .

>>> On cherche à vérifier, en traçant sous Python des régressions linéaires, la relation  $I_{0\text{th}} = \langle i_s \rangle = \alpha E/R$  (en effectuant les mesures à l'ampèremètre en mode DC), ainsi que la relation  $\Delta i_{s,\text{th}} = i_{s\text{max}} - i_{s\text{min}} = \alpha (1-\alpha)ET/L$ , lu crête-à-crête à l'oscilloscope (en prenant des moyennes grâce au menu **Acquérir**, car le signal visualisé,  $r'i_s$ , est très faible donc très bruité, puis en plaçant *manuellement* des curseurs d'amplitude). Dans ce but, on fait varier une des grandeurs parmi  $\alpha$ , E et f:

E = 10 V, f = 100 Hz

α	0	0,2	0,4	0,5	0,6	0,8	1
$I_{0\exp}$ (mA)							
$\Delta i_{\rm s,exp} \ ({\rm mA})$							

Déduire de ces mesures la valeur de R, que l'on utilisera par la suite :  $R = \Omega$  . La comparer à R' . Commenter. Calculer la valeur numérique de  $\tau = L/R$ , la comparer à T et commenter.

#### $\alpha = 0.5$ , f = 100 Hz

T (T)	^					1.0
E(V)	0	2	4	6	8	10
$I_{0\exp}$ (mA)						
$\Delta i_{\rm s,exp}~({\rm mA})$						

#### $\alpha = 0.5$ , E = 10 V

	f(Hz)	100	200	300	400
i	$I_{0\exp}$ (mA)				
Δ	$\dot{a}_{\rm s,exp}$ (mA)				

#### APPELER L'EXAMINATEUR

#### 2.3 Fonctionnement sur une charge (R', L), force contre-électromotrice E')

La charge est cette fois-ci constituée par l'ensemble série R',  $L = L_{\max}$  et la pile de f.e.m E' placée **en opposition** au courant d'intensité  $i_s$ . L'ensemble est alors équivalent à l'induit d'un moteur à courant continu.

>>> Mesurer au voltmètre la valeur de E' : E' = V.

>>> Ramener à 0 la tension de l'alimentation de puissance. Placer la charge entre A et C. Ramener E à 10 V.

#### **Conduction continue**

>>> Régler la fréquence de hachage à  $f=100\,\mathrm{Hz}$  et le rapport cyclique  $\alpha$  à 0,80. Observer  $u_\mathrm{s}$  et  $i_\mathrm{s}$  . Leur forme est-elle modifiée par la présence de la pile ?

>>> Vérifier sous Python la formule  $I_0 = \frac{\alpha E - E'}{R}$  en faisant varier E tout en gardant une conduction continue.

## $\alpha = 0.80$ , f = 100 Hz.

<i>E</i> (V)	10	9,5	9,0	8,5	8,0	7,5	7,0	6,5
$I_{0\exp}$ (mA)								

#### **Conduction discontinue**

>>> Régler la fréquence de hachage à  $f = 100\,\mathrm{Hz}$  et le rapport cyclique  $\alpha$  à 0,2. Relever sur un même graphe  $u_\mathrm{s}$  et  $i_\mathrm{s}$ . Interpréter les allures observées.

```
Régression linéaire Ly = a0*Lx + b0 sous Python :
>>> p0 = np.polyfit(Lx, Ly, 1) # (ajustement polynomial de degré 1)
>>> a0,b0 = p0[0],p0[1]
```

#### Matériel:

Maquette hacheur

Alimentation Jeulin Evolution

Boîte soustracteur

Multimètre Voltcraft

Bobine de 1,4 H avec fer doux mobile

Plaquette en bois avec résistance de  $50\Omega$  et pile plate 4,5 V

# FILTRE INTÉGRATEUR



Avant l'épreuve, l'examinateur donne quelques explications sur le déroulement du TP, sur le matériel et éventuellement les consignes de sécurité.

Le compte-rendu doit être complet pour se suffire à lui-même : objectifs, description des expériences et conditions expérimentales non décrites dans l'énoncé, mesures brutes, incertitudes-types, observations, traitement des résultats (courbes), interprétation. Soignez sa présentation !

Aujourd'hui, la durée de l'épreuve est de 2h30 (3h à Centrale et ENS Paris Saclay, 3h30 aux Mines, hors tirage au sort, contrôle d'identité et explications).

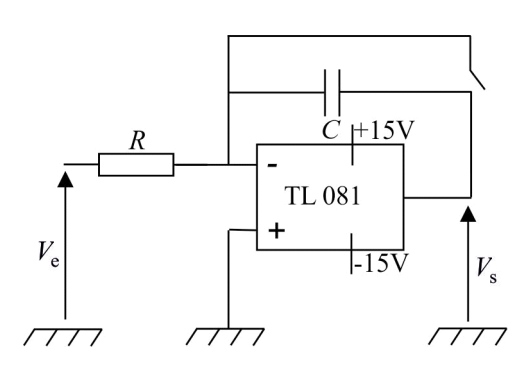
L'épreuve comporte 2 appels à l'examinateur qui permettront un bref échange.

Q.1) Quel est l'intérêt de réaliser un montage permettant d'intégrer un signal ? Connaissez-vous des exemples concrets où un intégrateur est utilisé ?

# 1. INTÉGRATEUR DE MILLER

## 1.1 Montage à réaliser

>>> Réaliser le montage suivant :



On prend  $R = 10 \text{ k}\Omega$ ; C = 47 nF. L'A.L.I est un TL 081 (courants de polarisation faibles).

#### 1.2 Manipulation

>>> Envoyer à l'aide du G.B.F une tension  $V_{\rm e}$  sinusoïdale de fréquence  $f=1\,{\rm kHz}$ .

Qu'observe-t-on en sortie à l'oscilloscope en mode DC (on remet à zéro en déchargeant le condensateur dans un court-circuit à l'aide d'un fil) ?

Caractériser le phénomène observé à l'aide d'une durée caractéristique à évaluer :  $\theta = s$ .

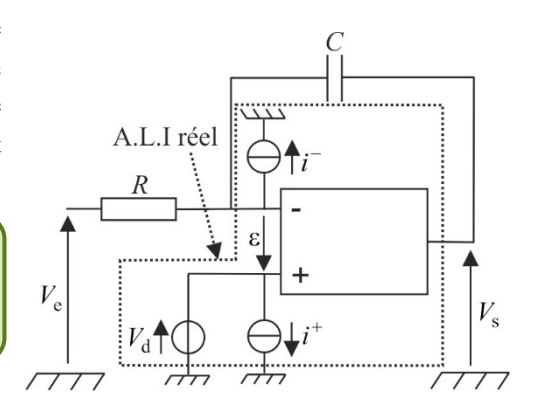
# 1.3 Étude théorique

On tient compte de la présence de courants d'entrée non nuls (courants de polarisation  $i^+$  et  $i^-$  sensiblement constants) et d'une tension de décalage ramenée à l'entrée ( $V_{\rm d}$ , également sensiblement constante). Les défauts de l'A.L.I réel sont pris en compte dans le montage équivalent ci-contre, faisant intervenir un A.L.I idéal.

Q.2) Montrer que la réponse à un signal  $V_{\rm e}(t)$  appliqué à partir de t=0 est :

$$V_{\rm s}(t) = -\int_{0}^{t} \frac{V_{\rm e}(t)}{RC} dt + \frac{i^{-}}{C}t + V_{\rm d} \left[1 + \frac{t}{RC}\right].$$

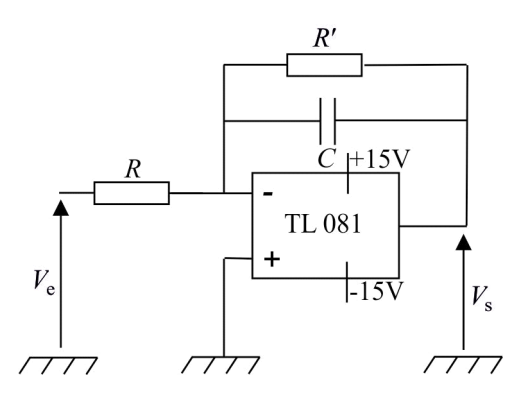
En déduire une estimation de  $i^- + \frac{V_d}{R} \simeq \text{nA}$ .



# 2. MONTAGE PSEUDO - INTÉGRATEUR

#### 2.1 Amélioration du montage

>>> Rajouter un conducteur ohmique de résistance  $R' = 330 \,\mathrm{k}\Omega$  en parallèle avec le condensateur.



# 2.2 Manipulation

>>> Montrer, en utilisant diverses formes de signaux d'entrée, que l'on n'a plus qu'un pseudo-intégrateur qui n'intègre que des signaux « hautes fréquences ».

Q.3) Donner un exemple de montage passif pouvant aussi se comporter comme un intégrateur. Quel est l'intérêt d'utiliser un montage actif ?

#### APPELER L'EXAMINATEUR

# 2.3 Étude théorique

 $\mathbf{Q.4}$ ) Montrer que même en présence des défauts précédents, on a simplement une tension de décalage en sortie :

$$V_0 = R'i^- + V_{\rm d} \left[ 1 + \frac{R'}{R} \right].$$

Montrer qu'en régime établi, la partie fluctuante  $\underline{\tilde{V}_s}$  de  $V_s$  est liée à  $\underline{V_e}$  par  $\underline{\tilde{V}_s} = -\frac{\underline{V_e}}{[1+jR'C\omega]\cdot R/R'}$ .

Justifier alors le comportement du montage.

#### 2.4 Gain statique

>>> Mesurer à l'aide d'un voltmètre électronique le gain statique  $A_{0\rm exp}$  du filtre ainsi obtenu. On expliquera la méthode utilisée afin de s'affranchir de l'existence d'une tension de décalage en sortie. **On ne doit pas avoir de saturation en tension de sortie**. Comparer  $A_{0\rm exp}$  à sa valeur théorique  $A_{0\rm th}$  à l'aide d'un Z-score. Les valeurs des résistances sont mesurées à l'ohmmètre.

Chaque valeur de  $A_0$  sera assortie de son incertitude-type.

## 2.5 Diagramme de Bode

>>> Effectuer les mesures de gain pour des fréquences judicieusement choisies, et tracer à l'aide du script Python fourni le diagramme de Bode du gain ainsi que ses asymptotes. Les mesures sont effectuées à l'oscilloscope, crête-à-crête, en mode automatique.

#### Q.5) Justifier l'utilisation du mode DC et pas AC à 50 Hz.

f(Hz)	0							
$V_{\rm ecc}$ (V)								
$V_{\rm scc}$ (V)		·		·			·	·

#### APPELER L'EXAMINATEUR

En déduire la fréquence de coupure et la pente dans la bande de fréquences coupée :

 $f_{\rm c}=$  Hz pente pour  $f\to\infty$  p= dB/décade

Q.6) Commenter le diagramme obtenu dans l'optique de la réalisation d'un montage intégrateur.

Matériel:

Plaquette de connexion

1 A.L.I TL 081

Capacité de 47 nF, 1 résistance de  $10 \text{ k}\Omega$ ; 1 de  $330 \text{ k}\Omega$ 

# MESURE D'UNE VITESSE GRÂCE À L'EFFET DOPPLER ACOUSTIQUE



Avant l'épreuve, l'examinateur donne quelques explications sur le déroulement du TP, sur le matériel et éventuellement les consignes de sécurité.

Le compte-rendu doit être complet pour se suffire à lui-même : objectifs, description des expériences et conditions expérimentales non décrites dans l'énoncé, mesures brutes, incertitudes-types, observations, traitement des résultats (courbes), interprétation. Soignez sa présentation !

Aujourd'hui, la durée de l'épreuve est de 2h30 (3h à Centrale et ENS Paris Saclay, 3h30 aux Mines, hors tirage au sort, contrôle d'identité et explications).

L'épreuve comporte 2 appels à l'examinateur qui permettront un bref échange.

# 1. ÉTUDE DES TRANSDUCTEURS

On utilise des ondes ultrasonores générées par un émetteur piézoélectrique soumis à une tension sinusoïdale de 40 kHz. Un récepteur piézoélectrique est fixe, et placé face à l'émetteur. Ces transducteurs sont positionnés sur un banc muni d'une courroie et d'un moteur afin de déplacer l'émetteur.

>>> Placer émetteur et récepteur l'un face à l'autre à faible distance. Balayer rapidement en fréquence en se concentrant sur le pic de résonance (une dizaine de points) afin d'obtenir le diagramme de Bode du gain. Les mesures sont effectuées à l'oscilloscope, en utilisant la fonction de mesure rapide d'amplitude crête-à-crête des signaux d'entrée (reçu par l'émetteur) et de sortie (émis par le récepteur), notées  $V_{\rm ecc}$  et  $V_{\rm scc}$ . Le fichier Python fourni permet de tracer ce diagramme.

f(kHz)			$f_0 =$			
$V_{\rm ecc}$ (V)						
$V_{\rm scc}$ (V)						

Tracer le diagramme de Bode. En déduire la fréquence de résonance  $f_0$  et le facteur de qualité Q.

Revenir à un signal sinusoïdal de fréquence f = 40,0 kHz.

## 2. MESURE DE LA VITESSE DU SON

Q.1) La vitesse du son dans un milieu de masse volumique  $\rho_0$  et de compressibilité isentropique  $\chi_S$  est  $c = \frac{1}{\sqrt{\rho_0 \chi_S}}$ . En déduire

c pour de l'air de masse molaire  $M = 29,0 \text{ g} \cdot \text{mol}^{-1}$  et de coefficient  $\gamma = \frac{c_p}{c_V} = 1,40$ , à la température  $T_0$ .

>>> Mesurer la vitesse du son en indiquant le protocole retenu.

$$c_{\text{exp}} = \mathbf{m} \cdot \mathbf{s}^{-1} \; ; \; u(c_{\text{exp}}) = \mathbf{m} \cdot \mathbf{s}^{-1}$$

>>> Comparer à sa valeur théorique, en tenant compte de la température sur la paillasse, mesurée par un thermomètre électronique. Un Z-score est attendu.

Température 
$$T_0 = K$$
;  $u(T_0) = K$ 

$$c_{th} = m \cdot s^{-1}$$
;  $u(c_{th}) = m \cdot s^{-1}$ 

$$Z = K$$

# 3. MESURE DE LA VITESSE DE L'ÉMETTEUR

Le moteur est alimenté par une alimentation continue dont on règle la tension à 6 V, **ne plus la modifier par la suite**. Les bornes de connexion du moteur à l'alimentation se trouvent sur le côté du banc.

On appliquera et coupera cette tension en débranchant l'un des fils de l'alimentation. On inversera le sens du moteur en inversant les fils au niveau de l'alimentation.

- >>> Mesurer au chronomètre la durée pour laquelle le chariot se déplace d'une trentaine de cm.
- >>> En déduire la vitesse de déplacement de l'émetteur.

$$v_{\text{chrono}} = \mathbf{m} \cdot \mathbf{s}^{-1} \; ; \; u(v_{\text{chrono}}) = \mathbf{m} \cdot \mathbf{s}^{-1}$$

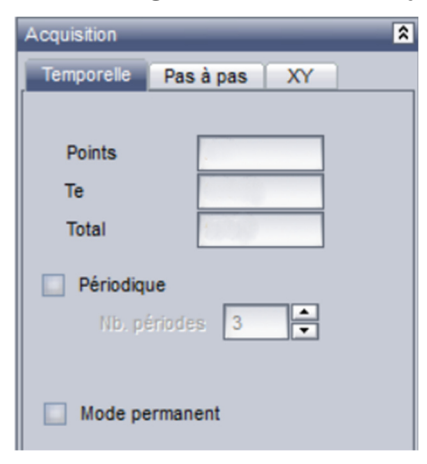
# 4. UTILISATION DE L'EFFET DOPPLER

Q.2) Montrer que la vitesse  $v_{\text{Dopp}}$  de l'émetteur est reliée à la vitesse  $c_{\text{exp}}$  du son dans l'air, à la fréquence f, et à l'écart Doppler

 $\Delta\!f$  entre les fréquences reçue et émise par la relation  $\,v_{\rm Dopp} = c_{\rm exp}\,\frac{\Delta\!f}{f}\,.$ 

>>> Acquérir grâce au boîtier Sysam, au lieu de la tension émise par le capteur optique, une tension permettant d'obtenir la vitesse de l'émetteur grâce à l'effet Doppler  $\Delta f$ , lorsque ce dernier se rapproche du récepteur (la tension de l'alimentation du moteur étant toujours de 10 V).

Le protocole (paramètres d'acquisition) devra être soigneusement détaillé et justifié (Points ? Te ? Total ?)



Si besoin, on pourra, en le justifiant, utiliser des composants parmi les boîtiers de résistance et de capacité variable, un suiveur, un multiplieur...

Mesures

$$\Delta f =$$
 Hz ;  $u(\Delta f) =$  Hz.

$$v_{\text{Dopp}} = \mathbf{m} \cdot \mathbf{s}^{-1} \; ; \; u(v_{\text{Dopp}}) = \mathbf{m} \cdot \mathbf{s}^{-1} \; .$$

#### Matériel:

Banc doppler du secondaire (capteur optique non utilisé).

Interrupteur (« inverseur 2 A »)

Ensemble {émetteur, récepteur d'ondes ultrasonores}.

Alimentation de puissance.

2 ramettes de fil.

Suiveur, multiplieur, filtres passe-bande, passe-bas : à demander à l'examinateur si besoin !

# DISPERSION ET ABSORPTION DANS UN CÂBLE COAXIAL



Avant l'épreuve, l'examinateur donne quelques explications sur le déroulement du TP, sur le matériel et éventuellement les consignes de sécurité.

Le compte-rendu doit être complet pour se suffire à lui-même : objectifs, description des expériences et conditions expérimentales non décrites dans l'énoncé, mesures brutes, incertitudes-types, observations, traitement des résultats (courbes), interprétation. Soignez sa présentation !

Aujourd'hui, la durée de l'épreuve est de 2h30 (3h à Centrale et ENS Paris Saclay, 3h30 aux Mines, hors tirage au sort, contrôle d'identité et explications).

L'épreuve comporte 2 appels à l'examinateur qui permettront un bref échange.

# 1. PRÉSENTATION

#### Document 1 : Description du câble utilisé

Le câble est constitué d'un conducteur central cylindrique de rayon a (« l'âme »), d'un conducteur périphérique coaxial au premier (« tresse » ou « blindage », de rayon intérieur b).

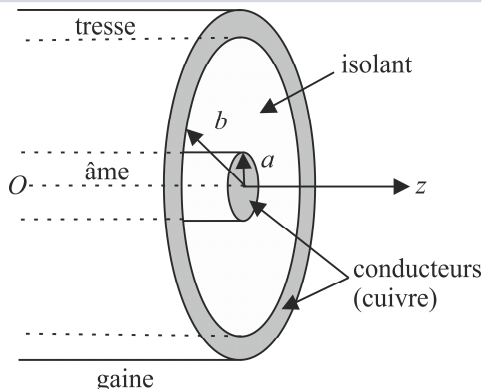
L'espace entre les deux conducteurs est rempli d'un matériau diélectrique, c'està-dire isolant.

Le câble utilisé RG 58 est de longueur  $L=100\,\mathrm{m}$ , le diélectrique est du polyéthylène de permittivité relative  $\varepsilon_{\mathrm{r}}=2,25$ . Le tout est protégé par une gaine en plastique.

On réalise ainsi un guide d'onde électromagnétique, pour lequel plusieurs structures du champ électromagnétique sont possibles (on les appelle « modes de propagation » du guide d'onde).

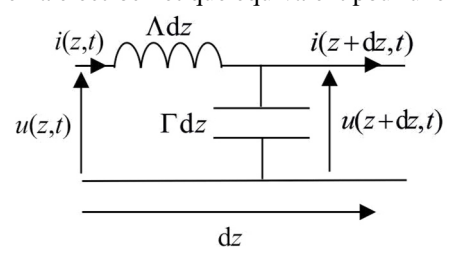
Aux fréquences auxquelles nous travaillerons (moins de 20 MHz), on peut montrer que le seul mode de propagation solution des équations de Maxwell dans le câble est un mode transverse électromagnétique « TEM » : les champs  $\vec{E}$  et  $\vec{B}$  sont perpendiculaires à la direction de propagation.





# 1.1 Étude théorique

Pour le mode de propagation étudié, le schéma électrocinétique équivalent pour une tranche de câble [z, z + dz] est le suivant :



Le modèle s'appelle « modèle de la constante répartie ». On néglige pour le moment toute absorption : aucun élément résistif ne figure dans le schéma.

Q.1) Montrer que dans un tel câble, une onde progressive de tension et de courant se propage à la célérité :  $c = \frac{1}{\sqrt{\Lambda\Gamma}}$  et que

l'on a  $Z_c = \frac{u(z,t)}{i(z,t)} = \sqrt{\frac{\Lambda}{\Gamma}}$ , où  $Z_c$  est l'impédance itérative, ou caractéristique du câble.

Q.2) Montrer que le coefficient de réflexion en tension à l'extrémité z = 0 du câble vaut  $\rho = \frac{u_r(0,t)}{u_i(0,t)} = \frac{R - Z_c}{R + Z_c}$  quand on le branche sur une résistance de charge R.

#### 1.2 Présentation de la maquette

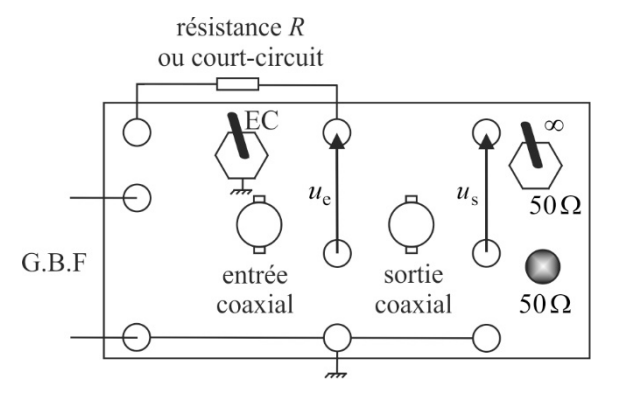
Le câble coaxial de 100 m est connecté entre l'entrée coaxial et la sortie coaxial. La maquette permet d'observer les signaux à l'entrée et à la sortie du câble.

La maquette permet d'appliquer le signal d'un G.B.F à l'entrée du câble coaxial, en ajoutant éventuellement entre les deux bornes prévues à cet effet une résistance R à la résistance de sortie  $R_{\rm s} = 50 \Omega$  du G.B.F.

# Quand on n'utilise pas cette possibilité, il faut court-circuiter ces deux bornes.

La sortie du câble est soit ouverte (placer le commutateur sur «  $\infty$  »), soit une impédance de  $50\Omega$  (placer le commutateur sur «  $50\Omega$  »), soit court-circuitée en plaçant un fil entre les deux bornes de sortie.

Toutes les mesures sont faites à l'oscilloscope.



#### 2. PROPAGATION D'IMPULSIONS DE TENSION

## 2.1 Signal envoyé

>>> Relier l'entrée du câble à un générateur d'impulsions.

Q.3) Donner la condition sur la fréquence des impulsions permettant à l'impulsion réfléchie de revenir en entrée du câble avant que ne soit émise l'impulsion suivante. On prend  $f = 200 \, \text{kHz}$ , commenter ce choix.

>>> On observe le signal à l'entrée du câble. Ajuster la durée des impulsions de sorte qu'elles apparaissent bien séparées.

#### 2.2 Ligne à sortie ouverte

>>> On laisse l'extrémité libre du câble en circuit ouvert ( $R \rightarrow \infty$ ). Qu'observez-vous ? Reproduire les signaux observés. Interpréter.

Mesurer la vitesse de propagation des ondes électromagnétiques dans le diélectrique.

**Mesures**: 
$$c = m \cdot s^{-1}$$
;  $u(c) = m \cdot s^{-1}$ .

## 2.3 Ligne à sortie court-circuitée

>>> On court-circuite maintenant l'extrémité libre du câble (R=0). Qu'observez-vous ? Reproduire les signaux observés. Interpréter.

Mesurer la vitesse de propagation des ondes électromagnétiques dans le diélectrique.

**Mesures**: 
$$c = m \cdot s^{-1}$$
;  $u(c) = m \cdot s^{-1}$ .

#### 2.4 Ligne adaptée en sortie

>>> On branche maintenant à l'extrémité du câble un conducteur ohmique de résistance  $R = 50\Omega$ . Qu'observez-vous ? Reproduire les signaux observés. Interpréter.

Mesurer la vitesse de propagation des ondes électromagnétiques dans le diélectrique.

**Mesures**: 
$$c = m \cdot s^{-1}$$
;  $u(c) = m \cdot s^{-1}$ .

# 3. DISPERSION ET ABSORPTION DES O.P.P.H DANS LE CÂBLE

>>> Connecter maintenant en entrée du câble le G.B.F qui peut délivrer des signaux jusqu'à 20 MHz. Lui faire délivrer un signal sinusoïdal dont la fréquence variera de 200 kHz à 20 MHz.

>>> Utiliser la sortie du câble permettant d'obtenir une tension  $u(z,t) = U(z)\cos[\omega t - k(\omega)z]$ . Justifier.

>>> Établir et mettre en œuvre un protocole permettant de mesurer, avec une incertitude-type minimale, les fréquences  $f_n$  pour lesquelles la tension de sortie du câble est déphasée par rapport à la tension d'entrée de  $\varphi = -n\pi$ , avec n = 2p + 1 et  $p \in \mathbb{N}$ .

Mesurer pour ces fréquences  $f_n$  les amplitudes crête-à-crête des tensions de sortie et d'entrée :

n	1	3	5	7	9	11	13	15
$f_n$ (kHz)								
$V_{\rm scc}$ (V)								
$V_{\rm ecc}$ (V)								

La plage  $\Delta f_n$  de valeurs de fréquences telles que les mesures fournissent  $\varphi = -n\pi$  est de l'ordre de quelques kHz. Déterminer  $\Delta f_{15}$  et en déduire l'incertitude-type  $u(f_{15})$ . On pourra considérer que  $u(f_n)$  varie très peu avec n.

L'incertitude-type sur 
$$G = \frac{V_{\rm scc}}{V_{\rm ecc}}\,$$
 est liée à celle sur  $V_{\rm scc}\,$  et  $V_{\rm ecc}\,$  .

Déterminer, pour n = 15, les incertitudes-types sur  $V_{\rm scc}$  et  $V_{\rm ecc}$  en expliquant comment elles sont obtenues.

On en déduit celle sur  $G: u(G) = G \cdot \sqrt{\left(\frac{u(V_{\text{ecc}})}{V_{\text{ecc}}}\right)^2 + \left(\frac{u(V_{\text{scc}})}{V_{\text{scc}}}\right)^2}$ .

Q.4) Exprimer la vitesse de phase  $c_n$  de l'O.P.P.H de fréquence  $f_n$  en fonction de  $f_n$ , L, et de n. Quelle relation lie  $f_n$  à n si on suppose  $c_n = c = Cte$ ?

>>> Tracer sous Python la courbe représentative de  $f_n$  en fonction de n et effectuer un ajustement linéaire. L'examen des résidus permet-il de valider que le câble est non dispersif ?

La tension dans le câble est de la forme  $u(z,t) = U(z)\cos[\omega t - k(\omega)z]$ . La puissance moyenne absorbée est supposée être proportionnelle à la puissance moyenne incidente et à l'épaisseur dz de la tranche :  $dP_a = \alpha P(z)dz$ .

Q.5) Effectuer un bilan de puissance **moyenne** sur la tranche [z, z + dz] du câble. En déduire la loi P(z) et montrer que  $U(z) = U(z = 0)e^{-\frac{\alpha}{2}z}$ . En déduire la relation entre  $\alpha$  et G.

Q.6) Les conducteurs du câble ne sont pas parfaits. Quel est le phénomène physique responsable de l'atténuation de l'onde?

# Document 2: Dispersion et absorption

Un modèle théorique prenant en compte le fait que les conducteurs du câble ne sont pas parfaits amène à la loi  $\alpha = 2A\sqrt{\omega}$ . Le constructeur annonce une perte de 4,5 dB par 100 m de câble à 10 MHz.

Les deux phénomènes, dispersion et absorption, sont liés : on montre que la loi  $\alpha = A\sqrt{\omega}$  implique que la relation de dispersion dans le câble est de la forme  $k = \frac{\omega}{c_{-}} + A\sqrt{\omega}$ .

Q.7) Exprimer la vitesse de phase  $c(\omega)$  en fonction de  $\omega$  et justifier la notation  $c_{\infty}$ .

On pose 
$$X = \frac{1}{\sqrt{\omega}} = \frac{1}{\sqrt{2\pi f}}$$
 et  $Y = \frac{1}{c}$ .

>>> Évaluer l'incertitude-type sur Y. Utiliser l'ajustement affine du programme Python fourni : AjustAff\_MC (X, Y, u\_Y), où u\_Y est l'incertitude-type sur Y, afin d'obtenir les valeurs de A et  $c_{\infty}$ , et leurs incertitudes-types. Le programme affiche également les résidus normalisés.

Commenter les résultats obtenus.

	TP 1	TP 2	TP 3	TP 4	TP 5	TP 6	TP 7	TP 8
	réseau optique	distances focales	filtre	cellules RC	hacheur	intégrateur	doppler	coaxial
optique								
électricité								
conversion de puissance								
acquisition								
incertitudes								
Python								
préparation	protocoles	théorie	théorie	théorie	théorie			théorie